

## II-250 粗粒子層の透水に関する研究(第4報) 砂利層における透水現象

日本大学工学部 正員 安田 梅輔  
◎ 藤田 龍之

まえがき 第2,3報において、均一球形粗粒子層( $d_m=1.28\sim24.5\text{mm}$ )の透水は、粗粒子層に関する安田の半理論式に従うことが実証され、透水現象の4領域による分類が提唱された。また $m'$ ,  $n'$ は連続的に変化するのではなく、上記各領域において固有の値を持ち、四段階の階段状の変化をなし、砂利、碎石などの試料の種類や形状、粒径などに左右されず、各領域でそれぞれ一定の値を示すことを報告した。

本報においては、砂利および碎石の上記の4つの領域中の疑層流と疑乱流領域との二つの領域に関する、いくつかの実験成果を中間的に報告する。また $m'$ の値は、領域のみにより定まり、粒子の種類や形状、大きさにより左右されないことは、今回の砂利、碎石に関する実験においても確認された。

### S 1 実験装置と砂利、碎石

実験装置は第3報と同装置であり、砂利および碎石の透水試料は下表および写真の如くである。

試 料	B <sub>1</sub> -1	B <sub>1</sub> -2	B <sub>1</sub> -3	B <sub>1</sub> -4	B <sub>2</sub> -3	B <sub>2</sub> -4	C <sub>1</sub> -3	C <sub>1</sub> -4	
種 類	砂利	砂利	砂利	砂利	砂利	砂利	碎石	碎石	I: 層流領域
粒 径 cm	0.25~0.5	0.5~1.0	1.0~1.5	1.5~2.0	1.0~1.5	1.5~2.0	1.0~1.5	1.5~2.0	II: 疑層流領域
間 隙 比	0.5935	0.5941	0.5894	0.6771	0.7810	0.8119	1.1286	1.1316	III: 疑乱流領域
実験範囲	I, II	III							

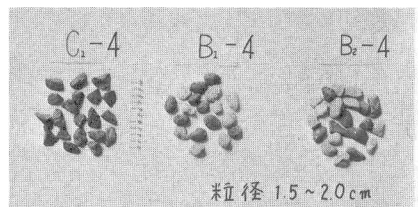
備考 B<sub>1</sub>: 表面が滑らかで比較的丸みのある砂利 福島県小高町 山一サンド製

B<sub>2</sub>: B<sub>1</sub>より表面がやや粗く不均種な砂利 福島県会津大川産

### S 2 実験結果と考察

#### 2-1 抵抗係数とレイノルズ数

レイノルズ数と抵抗係数との関係により、透水現象は4つの領域に分けられなければならないといふ。安田・藤田の4領域分類法はFig-1が示す通り砂利においても成立する。



ここではまだ第IV領域のデーターは得ていながら、砂利層においてもまた、第I, II, III領域における、I-Ⅳ曲線のIの指數 $m'$ は $m'=1\cdots, 0.8\cdots, 0.6\cdots$ となり、4領域分類法における $m'=1.0, 0.8, 0.6, 0.4$ のうちの第III領域までの3つの領域について実証された。

#### 2-2 動水勾配と流速

Fig 2~4は砂利および碎石の第III領域すなわち疑乱流領域におけるIとひとの実測値であり、Fig 5は第I, II領域、すなわち層流、疑層流領域における実測値である。これらのグラフからも分るように $m'$ は各領域において固有な値を持ち、試料の種類や形状、粒径などに左右されず、レイノルズ数のみにより定まることが推定され、少なくとも第III領域においては実証された。

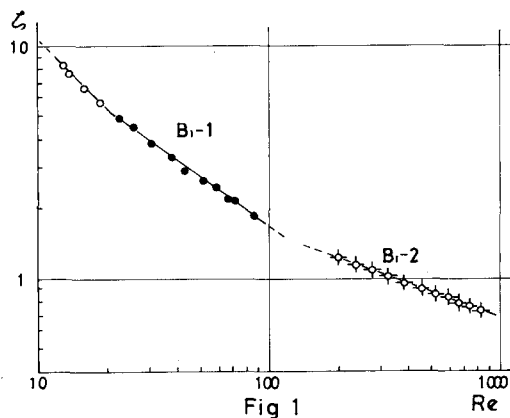


Fig 1

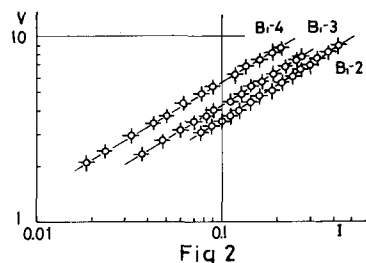


Fig 2

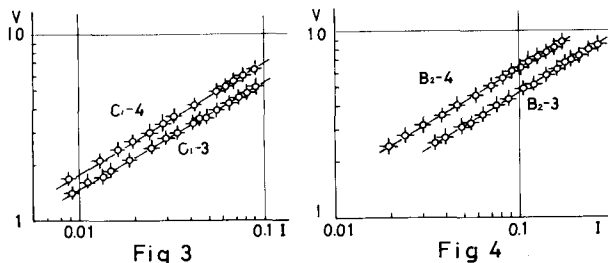


Fig 3

Fig 4

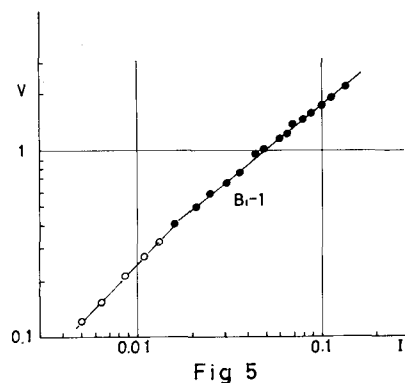


Fig 5

### 2-3 間隙比と $v$

Fig-6は、疑乱流領域における、同一粒径の2種類(粗、滑)の砂利と碎石の計3種類の試料における $v$ -I-V曲線である。同一試料で間隙比を大きく変えて詰めることは、やや困難であるので粒子の形状を変えることにより間隙比を変え、一応暫定的にその影響を観察することにした。もちろん形状の影響も無視出来ないことは予想されるが、Eが大になるとの切片を表わす項を、すなわちEが大になり、間隙比の影響が明瞭に表わされている。目下、同一試料で間隙比を変えて詰める方法、およびその影響について研究中である。

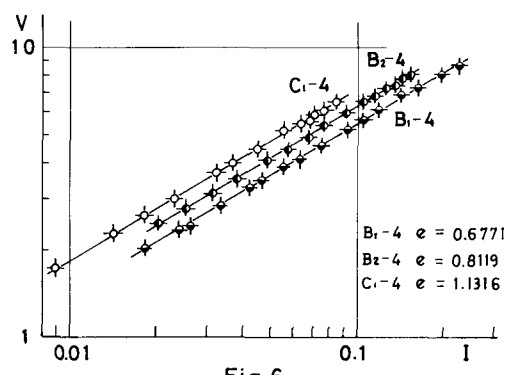


Fig 6

### 参考文献

- 1) 安田楨輔 球形粗粒子層内の透水に関する研究

土木学会第23回年次学術講演会概要 第Ⅱ部 昭和39年

- 2) 安田楨輔・藤田龍之 粗粒子層の透水に関する研究(第1,2報)

土木学会第26回年次学術講演会概要 第Ⅱ部 昭和46年